電動航空機における境界層吸い込み(BLI)の概要 BLI: BOUNDARY LAYER INGESTION

2020年12月15日

日本航空機開発協会(JADC) 山北晃久

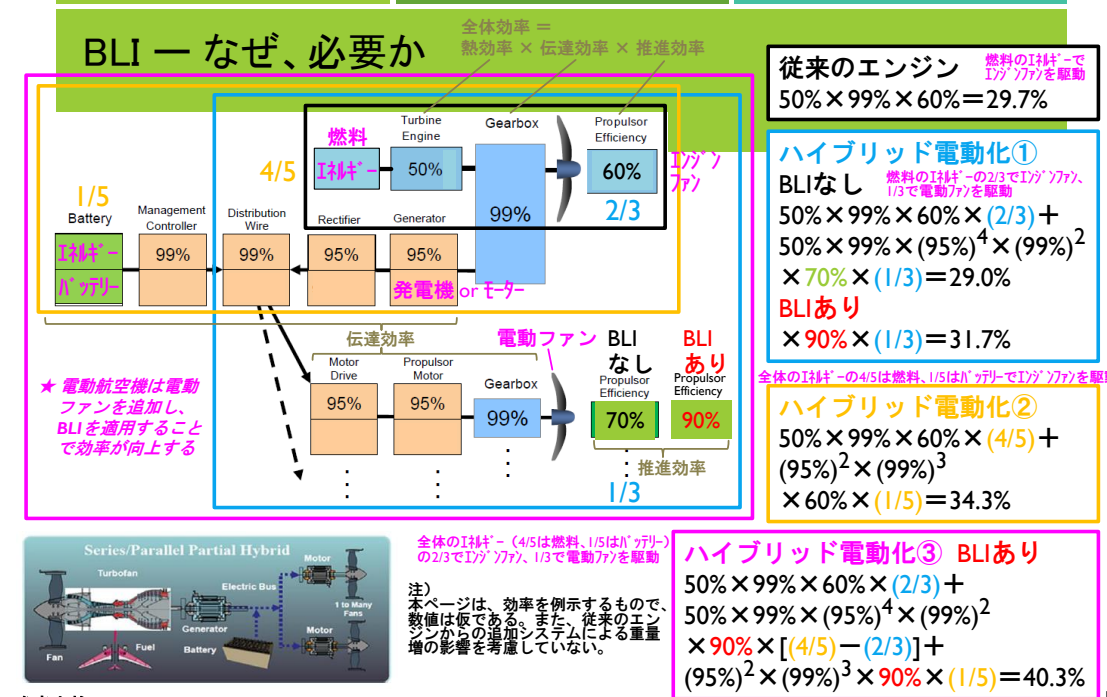
(現 川崎重工業株式会社)

BLI 一 原理·評価手法 SMITH (1993)

パワーが少なくて済む(推進効率がよくなる)効果がある

 $P_n = \dot{m}[(V_1^2/2) - (V_0^2/2)]$ 前方物体による抵抗 D = ρV δθ

参考文献 GE, Smith, Wake Ingestion Propulsion Benefit, Journal of Propulsion and Power, 1993



参考文献 Marty Bradley, Design of Electrified Propulsion Aircraft, SCITEC 2019 Short Course

【参考】推准効率

BLIは、境界層の速度が遅い部位から空気を吸い込み、 後方の速度が遅い部位へ空気を噴出するため、必要な

によれば「任

意方向の運動量の変化の割合は、その方向の外力に等しい」。この表現をプロペラの推力に適用すれば、 「空気に与えられた運動量の推力方向の変化の割合は、与えられた推力に等しい」と言い換えること 単位時間当たりの空気の質量(流量)m

いま、プロペラにより単位時間に作用を受けた空気の質量をm、空気が得た速度をuとすれば空気 に与えられた運動量は mu となり、これが推力 Tに等しい。

推力 T = 単位時間当たりの運動量の変化 mu

機上に座標の原点をとれば、プロペラ面の流れの状態は図1-1のように なる。飛行機が空気に与えた運動量はm(V+u)-mV=mu、飛行機の行う有効仕事は $T\times V=mu$ muVとなる。一方、飛行機が空気に運動量 mu を与えるために費やしたエネルギは、空気が得た運動 エネルギの増加に等しいから

 $\frac{1}{2}m\{(V+u)^2-V^2\}=muV\left(1+\frac{u}{2V}\right)$ である。

従って、プロペラの推進効率 η は λ 分子: 推力 λ 次序(単位時間当たりの距離) λ = 推力 λ による単位時間当たりの仕事



すなわち、高い効率を得るためには、(u/V) の値が小さいほどよい。

推進効率 $\eta_p = [2V_0/(V_j + V_0)]$

パワーが少なくて済む

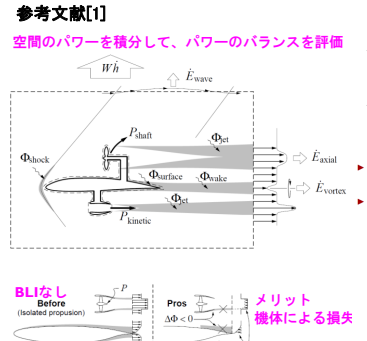
式 (1-3) の分母が減る

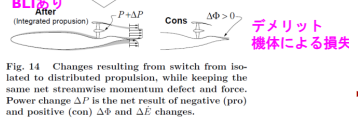
推進効率がよくなる

参考文献 航空工学講座6 プロペラ、日本航空技術協会

BLI 一 原理·評価手法 DRELA (2009~2017)

BLIは、境界層の速度が遅い部位から空気を吸い込み 後方の速度が遅い部位へ空気を噴出するため、必要な パワーが少なくて済む(推進効率がよくなる)効果がある

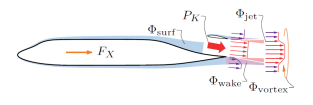




参考文献[2]

基本的な考え方: 推進器は機体の境界層を吸い込み、再加速する

l ess wake and jet kinetic energy for the same net force → less now needs to be added to the flow by propulsor → less fuel burn



▶ Power added to flow by propulsor (P_K) balances lost power due to dissipation (\Phi) in shear layers, jets, vortex system

$$P_K - \Phi_{
m jet} = \Phi_{
m surf} + \Phi_{
m wake} + \Phi_{
m vortex} - F_X V_{
m \infty}$$
net propulsive power (正映の推進パワー) = (静体による指失) + (推力による仕事率)

Rational definition in terms of power and dissipation (lost power

推進効率 η_p = useful power delivered to airframe = $\frac{P_K - \Phi_{
m jet}}{}$ power added to the flow

参考文献[3]

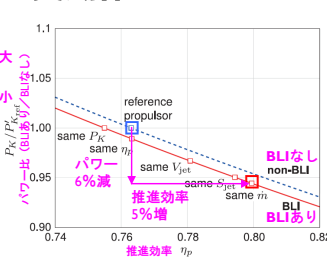


Fig. 13 Mechanical flow power normalized by non-BLI reference value vs propulsive efficiency without BLI and with a number of BLI $(f_{\rm BLI} = 0.17)$ propulsors. 本図は解析結果であり 験結果を pl5 に示す

本手法の特徴

本手法はすべてを考慮できる ・すべての方向の速度、圧力等

推力による 「前方物体による速度低下」

ただし、速度及び圧力分布等を設定する。 流体力学解析又は実験が必要

参考文献 [1] MIT. Dreia, Power Balance in Aerodynamic Flows, AIAA2009-3762

[2] MIT, Hall, Boundary Layer Ingestion Propulsion - Benefit, Challenges, and Opportunities, 5th UTIAS Workshop on Aviation and Climate Change, 2016

[3] MIT, Hall, Drela, et al, Boundary Layer Ingestion Propulsion Benefit for Transport Aircraft, JPP Vol. 33, No.5, 2017

BLI 一 原理·評価手法 その他

後方の速度が遅い部位へ空気を噴出するため、必要な パワーが少なくて済む(推進効率がよくなる)効果がある

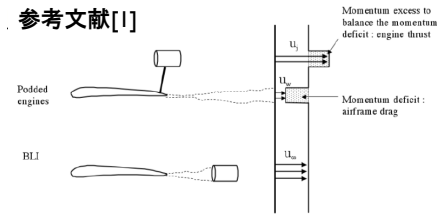


Figure 1. Benefits of BLI-podded case and 100% BLI. The momentum excess created by the podded engine is equal to the momentum deficit of the airframe

For the force of engine F_{engine} and the drag of the airframe D_A ,

推力 抵抗
$$F_{ensize} = \dot{m}(u_j - u_\infty) = \dot{m}(u_x - u_w) = D_A \,. \qquad \qquad$$
 巡航時は推力 F と抵抗 D は釣り合っている
$$P_{no\,BLJ} = \frac{\dot{m}}{2} \left(u_j^2 - u_x^2\right) = \frac{F}{2} \left(u_j + u_x\right) \,. \qquad \qquad$$
 通常場合のパワー P no BLI

$$P_{BLI} = \frac{\dot{m}}{2} \left(u_j^2 - u_w^2 \right) = \frac{\dot{m}}{2} \left(u_w^2 - u_w^2 \right) = \frac{\dot{F}}{2} \left(u_w + u_w \right)$$
. BLI 100%場合のパワーPBLI

where, in = mass flow and P = mechanical power, BLIの効果を単純化して説明

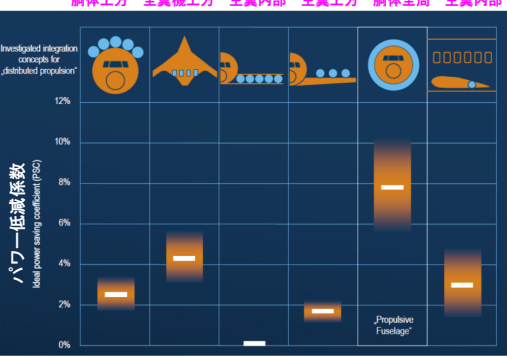
Since $u_j > u_w$, $P_{no BLI} > P_{BLI}$.

同じ推力Fを出すのに必要なパワーは 通常場合のパワー P no BLI > BLI 100%場合のパワー P BLI

上式で $uj=u^{\infty}+\Delta uj$ 、 $uw=u^{\infty}-\Delta uw$ とすると、推進効率 $\eta=Fu^{\infty}/P$ は、通常場合 $\eta \cap BU=Fu^{\infty}/F(u^{\infty}+\Delta uj/2)=1/(1+\Delta uj/2u^{\infty})$ BLI 100%場合 $\eta BU=Fu^{\infty}/F(u^{\infty}-\Delta uw/2)=1/(1-\Delta uw/2u^{\infty})$

参考文献[2] BLIの適用形態と効果のイメージ

胴体上方 全翼機上方 主翼内部 主翼上方 胴体全周 主翼内部



参考文献[1]

Univ of Cambridge, Sargeant, Performance of a Boundary Layer Ingesting (BLI) Propulsion System, AIAA2007-450 参考文献[2]

Bauhaus Luftfahrt, Concept study "Propulsive Fuselage"

BLI 一 適用例

参考文献は次ページ以降参照

機体	機体形状		BLI7:	アン	BLI効果	推進方法	就航年	座席数	後続距離	速度	離陸重量
組織			位置		CO ₂ 排出量				nm	M	lb
									(km)	(km/h)	(ton)
STARC-ABL		従来	尾部	全周	-3.4%	ジェットエンジン	2035	154	3500	0.785	134740
NASA	0	形状			*	+発電機			(6482)	(834)	(61.1)
						+ 電動BLIファン					
SUGAR Freeze Boeing		高翼	尾部	全周	-9.0%	LNGガスタービン	2040	154	3500	0.7	158800
	No.	トラス				+燃料電池			(6482)	(744)	(72.0)
		形状				+超電導BLIファン					
T-BLI+ DLR		従来	尾部	全周	-3.8%	ジェットエンジン	2035	165	3100	0.78	173942
	The state of the s	形状				+発電機			(5741)	(828)	(78.9)
						+ 電動BLIファン					
Propulsive Fuselage		従来	尾部	全周	-14%	BLIジェットエンジン	2035	340	4800	0.78	448269
Bauhause Luftfahrt		形状							(8890)	(828)	(203,3)
	TO A STATE OF THE PARTY OF THE										
TailWind	- Add	高翼	尾部	全周	-5%	バッテリー	2020	9	86	不明	1102
Ampaire		形状				+電動BLIファン	年代前半		(160)		(0.5)
		尾翼なし									
NOVA-BLI		胴体	尾部	側方	-5.2%	BLIジェットエンジン	2025	180	3000	0.82	174162
ONERA		扁平							(5556)	(871)	(79.0)
		形状									
D8 Aurora	Manageried columns and projection for the control (new Manageried)	胴体	尾部	上方	-15%	BLIジェットエンジン	2035	180	3000	0.78	153670
		扁平							(5556)	(828)	(69.7)
		形状									
BWB-450 Boeing		全翼	尾部	上方	-5.5%	BLIジェットエンジン	2035	468	7750	0.85	746300
	8	形状							(14353)	(903)	(338.5)
N3-X NASA		全翼	尾部	上方	4%以上	ターボエンジン	2040	300	7500	0.84	496000
		形状				+ 超電導発電機			(13890)	(892)	(225.0)
	/2/					+ 超電導BLIファン	1	1			

【参考】 現代機とBLI適用例(1/2)

サイズ別 ジェット旅客機運航機数および需要予測 18,000 リージョナル・ジェット機 Narrow Body 細胴機 Wide Body 広胴機 16,000 14,230 合計運航機数 2019年末: 24.015 機 主翼、尾翼、胴体、 2039年末: 41,274 機 12.201 2020-2039年新規納入機数: 12,000 35,541 機 Twin Aisle 新規納入機 座席数:大 10 000 8.000 12 534 6.000 4.000 3.078 2 740 残存機 2,000 3 431 1,697 2019 2039 2019 2039 2019 2039 2019 2039 2019 2039 2019 2039 2019 2039 2019 2039 座席数 → 20-59席 60-99席 100-119席 120-169席 170-229席 230-309席 310-399席 400席以上

777, 787

NOVA-BLI

A330, A350

777

747, A380 Propulsive BWB-450

SUGAR Freeze 参考文献 JADC, 民間航空機に関する市場予測 2020-2039, http://www.jadc.jp/files/topics/157.ext.01_0.pdf

737, A320

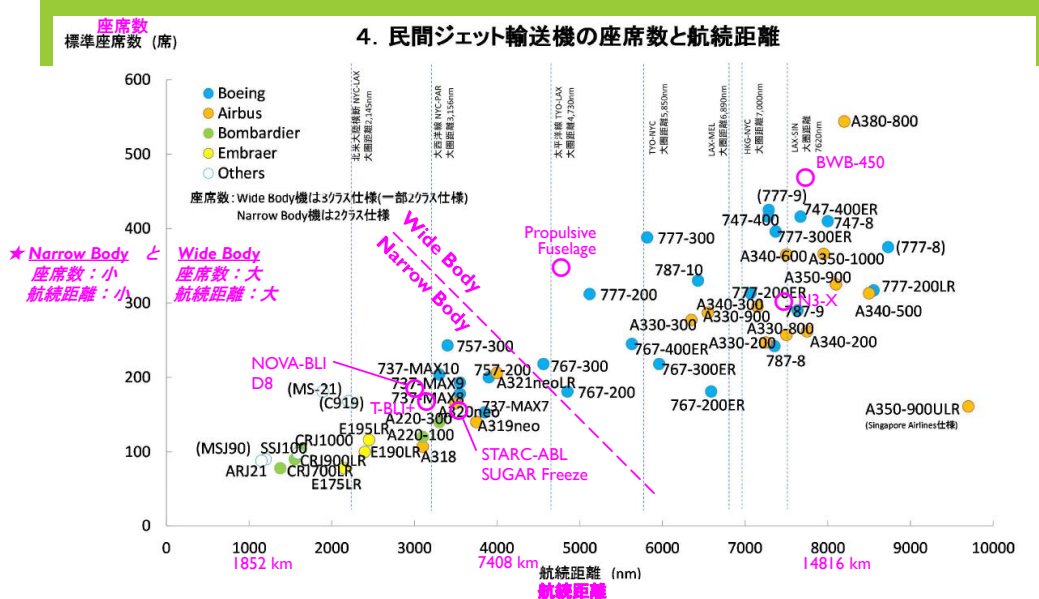
STARC-ABL

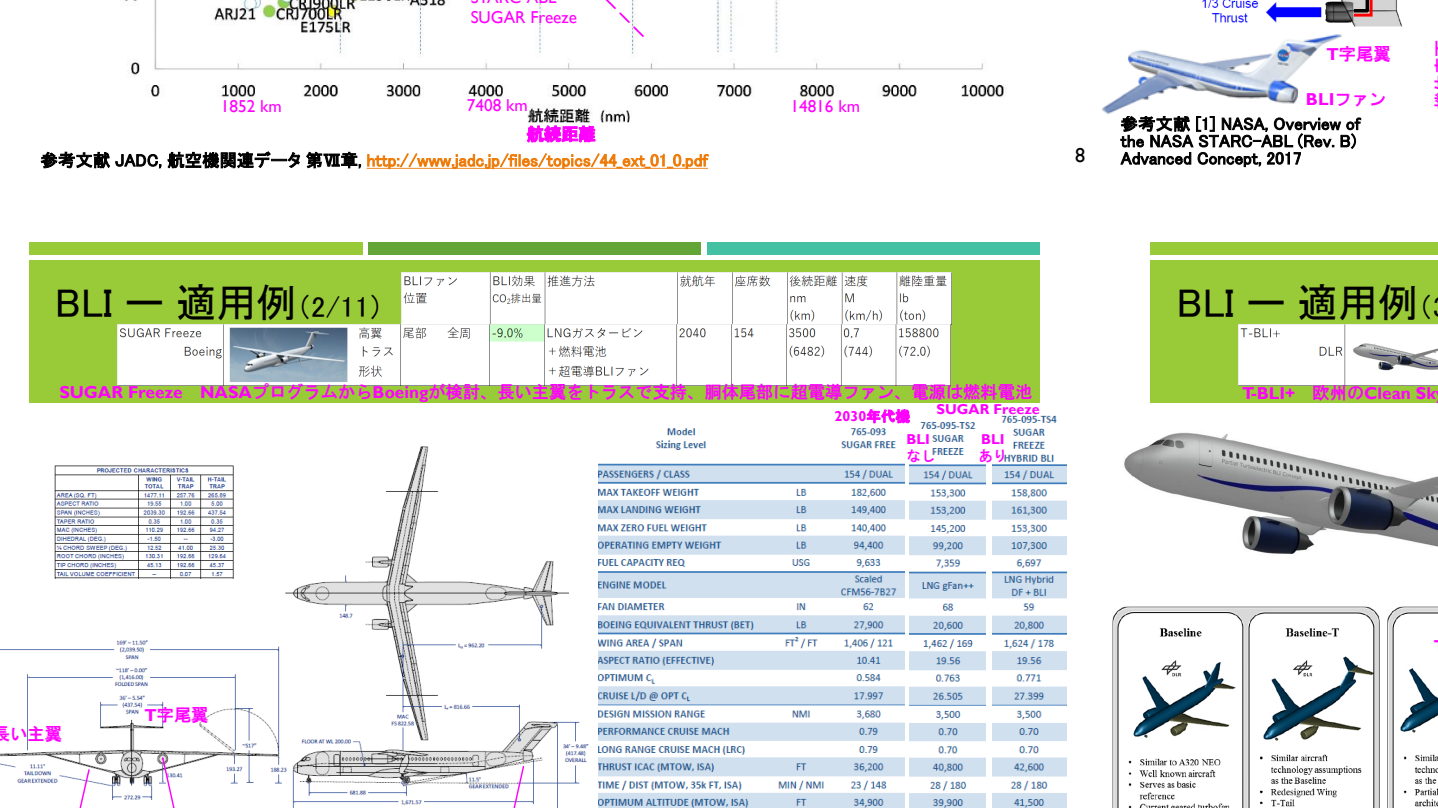
737 Narro

777 Wide Body

トラスで支持

LNGガスタービン





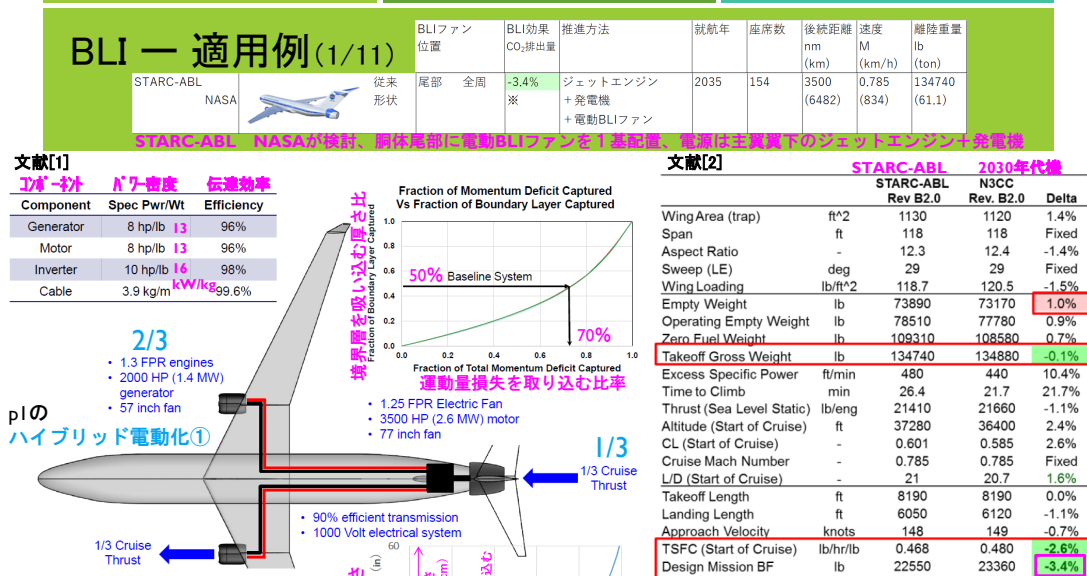
BUFFET ICAC (MTOW, ISA)

APPROACH SPEED (MLW)

参考文献 NASA. Subsonic Ultra Green Aircraft Research Phase II: N+4 Advanced Concept Development. 2012

BLOCK FUEL / SEAT (900 NMI)

TOFL (MTOW, SEA LEVEL, 86 DEG F





0.4 0.6 Economic Mission BF

6240

燃料消費·CO₂排出量削減 3.4% (2030年代機比)

6410



46,400

8,190

746 (-56.1%)

45.000

8,190

91.51 (Base) 39.21 (-57.2%) 35.88 (-60.8%)

816 (-52.0%)

36,200

126

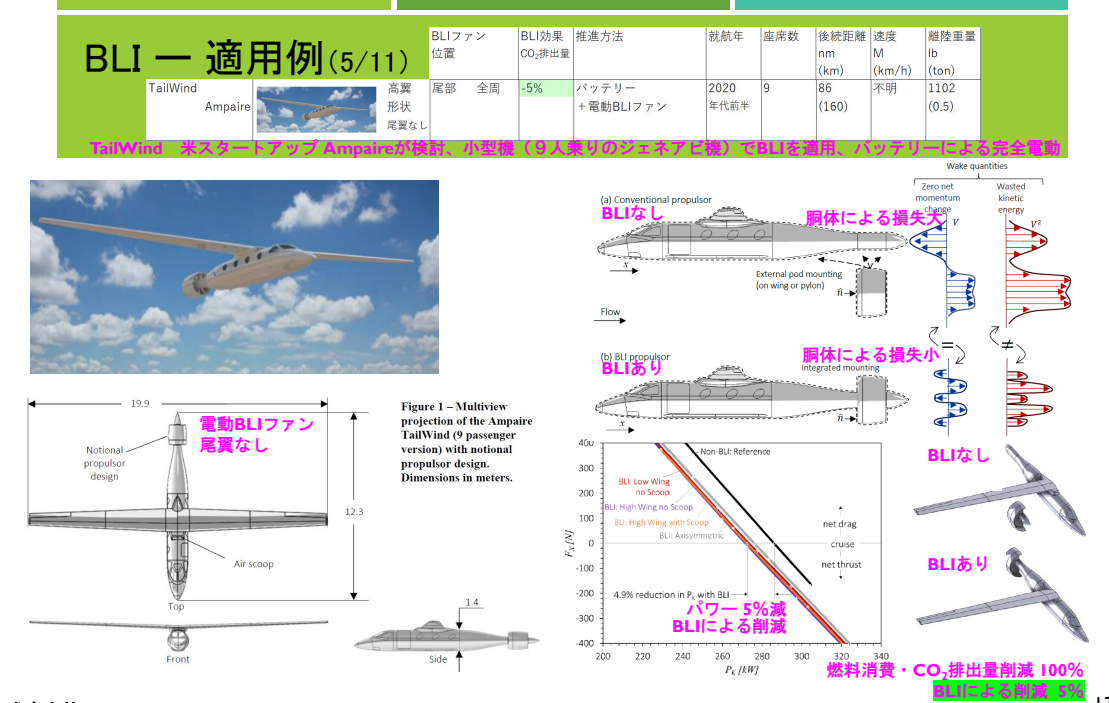
燃料消費·CO₂排出量削減 61% (2030年代機比

1 000 BTH

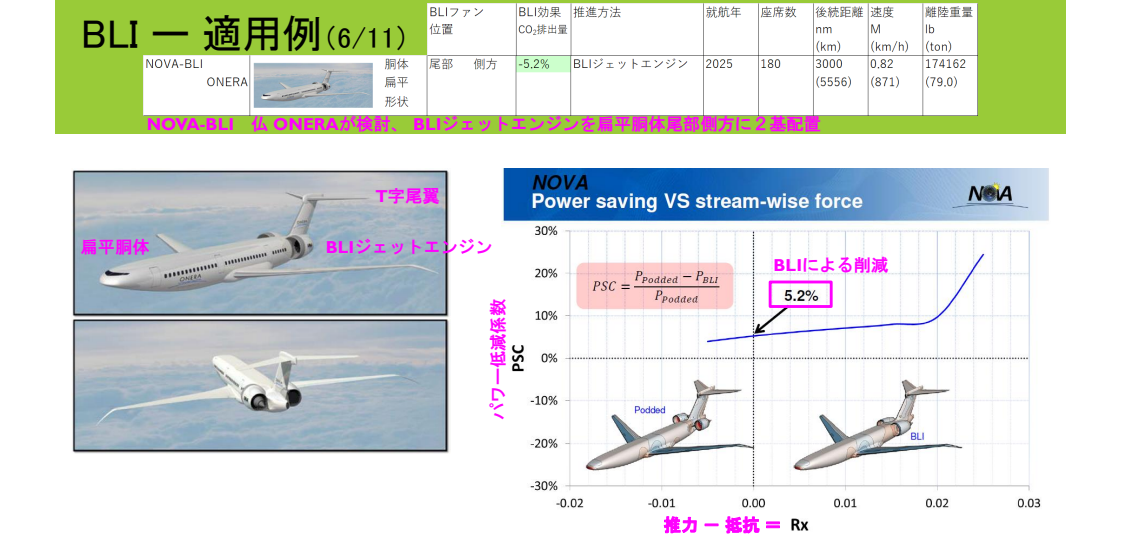
8,190



参考文献 Bauhaus Luftfahrt, Distributed propulsion and ultra-high by-pass rotor study at aircraft level, 2015



参考文献 Ampaire, Development of a Ducted Propulsor for BLI Electric Regional Aircraft - Part I: Aerodynamic Design and Analysis, AIAA2019-3853 ^{[3}



燃料消費・CO,排出量削減 記載な I

ONERA

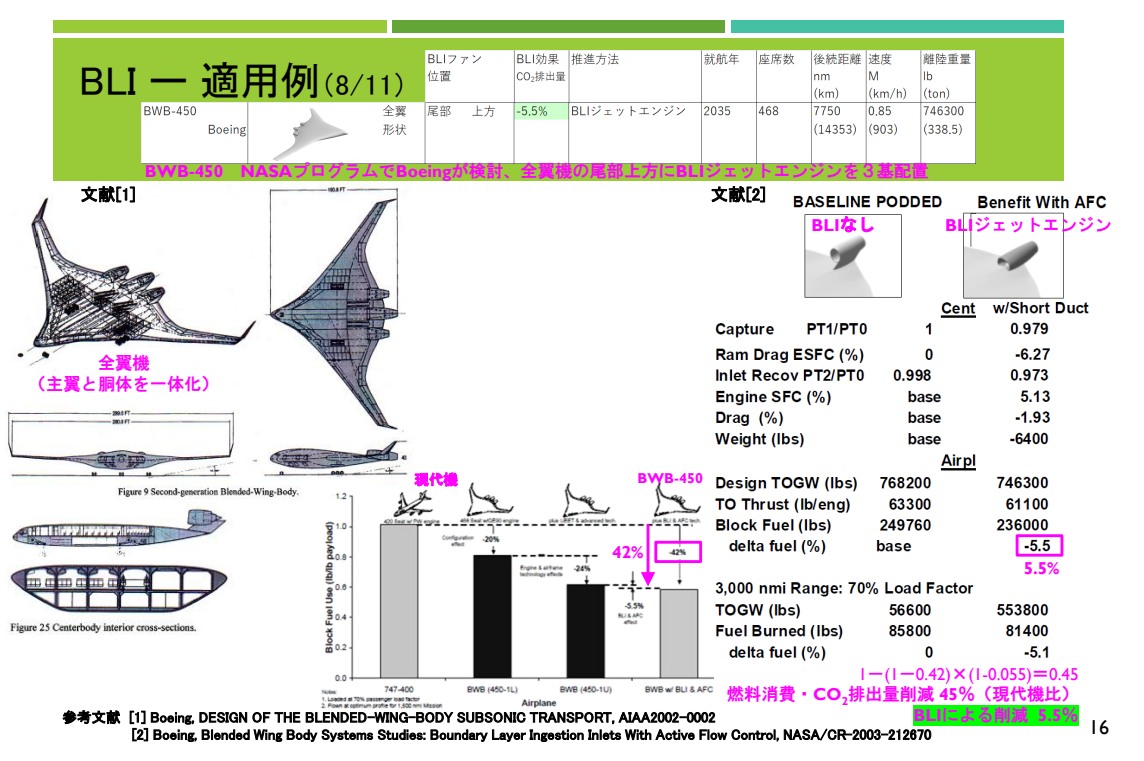
14

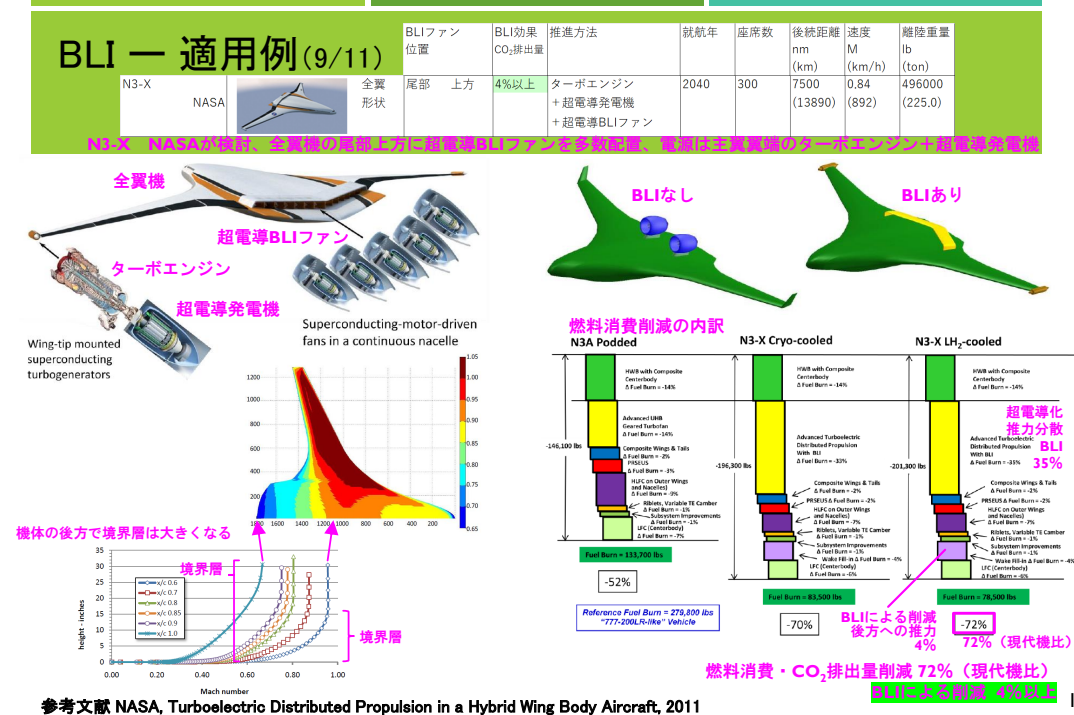
RII効果 推進方法 座席数 後続距離 速度 離陸重量 CO₂排出量 (ton) -15% BLIジェットエンジン 2035 180 3000 0.78 153670 扁平 (5556) (828) (69.7) 文献[1] ⅎ \square 00 Measurements [14] 文献[4] Increased nozzle area Fig. 2 Three-view of D8.2 transport aircraft concep 燃料消費削減の内訳 Nominal nozzle area Decreased nozzle area 0.04 0.044 Unpowered C'_D/η_t 0.040 0.73 0.75 0.77 0.79 Fig. 19 D8 wind tunnel model mechanical flow power coefficient v propulsive efficiency; experimental measurements (symbols) and pov

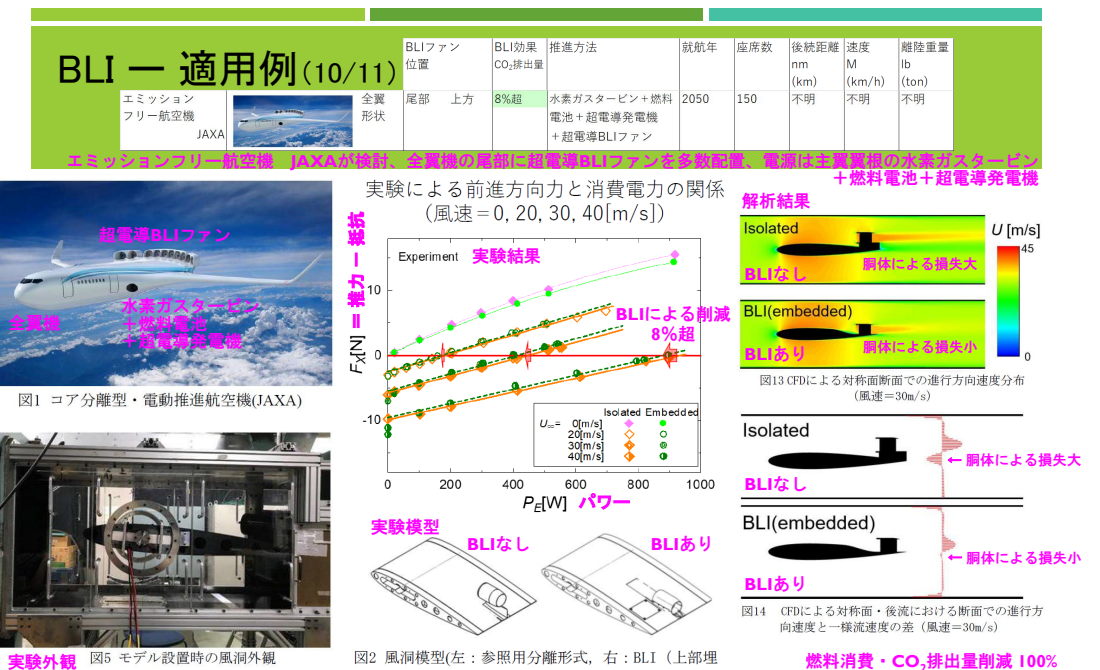
参考文献 [1] Aurora, Design and Development of the D8 Commercial Transport Concept. ICAS 2018

[2] MIT, Boundary Layer Ingestion Propulsion – Benefit, Challenges, and Opportunities, 5th UTIAS Workshop on Aviation and Climate Change, 2016 [3] MIT, Boundary Layer Ingestion Propulsion Benefit of the D8 Transport Aircraft, AIAA J Vol. 55, No.11, 2017

[4] MIT, Boundary Layer Ingestion Propulsion Benefit for Transport Aircraft, JPP Vol. 33, No.5, 2017









BLIIによる削減 8%報

め込み))

BLI ー まとめ

BLIは、境界層の速度が遅い部位から空気を吸い込み、 後方の速度が遅い部位へ空気を噴出するため、必要な パワーが少なくて済む(推進効率がよくなる)効果がある

本誌は、電動航空機における境界層吸い込み(BLI)の概要として、 以下を示した

なぜ、必要か

★ 電動航空機は電動ファンを追加し、BLIを適用することで効率が向上する

原理·評価手法

★ BLIの原理は1990年代から明らかになり、その評価手法が確立されている

適用例

- ★ 電動航空機がBLIを適用する形態は様々であり、機体と電動ファンのブレンドが鍵
- ★ BLIの効果は数%~15%のCO2排出量削減